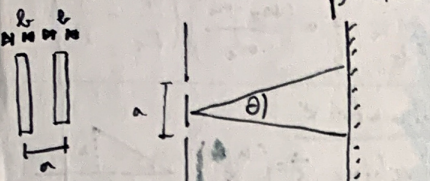


Fraunhoferbeugung am Spalt

$\sin(\beta) = \sin(\pi b \sin(\theta_{\min})/\lambda) = 0$   
 $\sin \theta_{\min} = \pm \frac{\lambda}{b} + \frac{2\lambda}{b} + \dots$  - Spaltbreite  
 $\sin \theta_{\max} \approx \frac{2\lambda + 1}{2} \frac{\lambda}{b}$

Doppelspalt

$\frac{I_D(\beta)}{I_D(0)} = \cos^2(k\beta a/2) \frac{\sin^2(k\beta b/2)}{(k\beta b/2)^2}$   
 $\beta = \sin \theta$



Gitter

$\frac{I_{\text{Gitter}}(\sin \theta)}{I_{\text{Gitter}}(0)} = \frac{\sin^2(Nk \frac{a}{2} \sin \theta)}{N^2 \sin^2(k \frac{a}{2} \sin \theta)}$   
 Lage Hauptmaxima

$a(\sin \theta - \sin \theta_0) = m\lambda$   
 Gitterkonstante, Beugungswinkel, Einfallswinkel, Ordnung

Auflösungsvermögen  $\frac{\Delta \lambda}{\lambda} = \frac{1}{N}$  beleuchtete Gitter

Gittergleichung Littrow-Bordy  $2a \sin \theta = m\lambda$

Bragg-Beziehung  $2d \sin \phi = m \cdot \lambda$

Kohärenzlänge Licht  $\ell_c = \frac{c}{\Delta \nu}$  Licht

Kohärenzzeit

Fabry-Perot-Interferometer

Frequenzabstand  $\propto$  Abhängigkeit der Spiegelabstände  $L$

$\Delta f = \frac{c}{2nL}$  Durchmesser der Interferenzringe  $\Delta s = 2d \sqrt{1 - \sin^2(\alpha)}$

$\Delta s$  optischer Wegunterschied  $\Delta \phi = \frac{2\pi \Delta s}{\lambda}$

Interferenz

• gleiche Frequenz;  
 $A = \sqrt{a_1^2 + a_2^2 + 2a_1 a_2 \cos(\phi_1 - \phi_2)}$

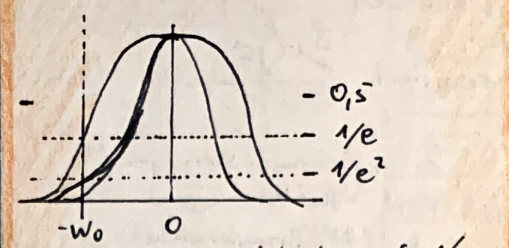
$\tan \phi = \frac{a_1 \sin \phi_1 + a_2 \sin \phi_2}{a_1 \cos \phi_1 + a_2 \cos \phi_2}$

Auflösung eines Fernrohres  $\frac{\lambda}{\Delta x} = n \cdot N$

Rayleigh-Kriterium zwei Spektrallinien lassen sich gerade noch trennen, wenn Max der einen auf 1. Min der anderen fällt

Auflösung eines Mikroskops  $d \geq 0,61 \frac{\lambda}{\Delta n_{\text{num}}}$

Gauß-Strahlen

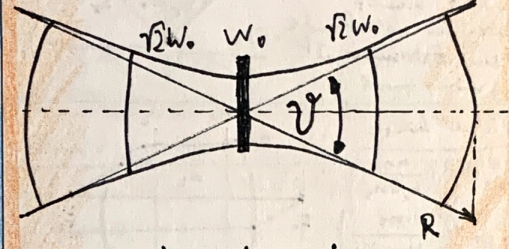


bei  $w_0$  ist Feldstärke auf  $1/e$  ist Intensität auf  $1/e^2$

$U_p(x, y, z) = \frac{q(z)}{q(z_0)} U_0 \exp(ikz + i \frac{k \rho^2}{2q(z)})$

$q(z) = z - i z_0 = z - i \frac{k w_0^2}{2}$ ;  $z_0 = \frac{k w_0^2}{2}$

Gouy-Phase  $\phi(z) = \arctan(\frac{z}{z_0})$

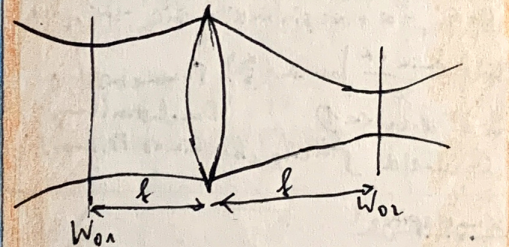


$W(z) = w_0 \sqrt{1 + (\frac{z}{z_0})^2}$ ;  $z_0 = \frac{k \cdot w_0^2}{2}$

$|z| \gg z_0$   $W(z) = \frac{w_0}{z_0} |z|$ ;  $z_0 = \frac{\pi w_0^2}{\lambda}$

$R(z) = \frac{z_0^2 + z^2}{z} \approx z$

$z \approx \frac{2W(z)}{\lambda} \approx \frac{2}{\lambda} \frac{w_0}{z_0} z = \frac{2w_0}{k w_0^2 / 2} = \frac{2}{\pi w_0}$



Matrix formalismus, komplexer Krümmungsradius q

$\frac{1}{q(z)} = \frac{1}{R(z)} + i \frac{\lambda}{\pi w^2(z)}$

$q_2 = \frac{C + D q_1}{A + B q_1}$   $M = \begin{pmatrix} A & B \\ C & D \end{pmatrix}$

$\vec{E} = \vec{E}_x + \vec{E}_y = \begin{pmatrix} E_{x0} \cos(kz - \omega t) \\ E_{y0} \cos(kz - \omega t + \epsilon) \\ 0 \end{pmatrix}$

Polarisation, falls  $\epsilon \neq 0$ :

Lin. Polarisiert!

$\vec{E} = \begin{pmatrix} E_{x0} \\ E_{y0} \end{pmatrix} \cos(kz - \omega t) = \vec{E}_0 \cos(kz - \omega t)$

außerdem  $\epsilon = (2\pi n) \bar{u}$

da  $\cos(\psi) = -\cos(\psi + (2n+1)\pi)$  und lin. polarisiert

Zirkular Polarisiert

$E_{x0} = E_{y0} = E_0$   $E = \sqrt{2} + m\pi$   
 $\vec{E} = E_0 \begin{pmatrix} \cos(kz - \omega t) \\ \cos(kz - \omega t + \pi/2 + m\pi) \\ 0 \end{pmatrix} = \vec{E}_0 \begin{pmatrix} \cos(kz - \omega t) \\ \pm \sin(kz - \omega t) \\ 0 \end{pmatrix}$

$E = -\pi/2 + 2m\pi$  - rechtszirkular

$E = \pi/2 + 2m\pi$  - linkszirkular

Drehimpulsübertragung

$\Delta L = \frac{W}{\omega} = \frac{\text{absorbierte Energie}}{\text{Kreisfrequenz}}$

$\tan(2\alpha) = \frac{2E_{0x}E_{0y} \cos \epsilon}{E_{0x}^2 + E_{0y}^2}$

falls  $\alpha = 0$

=> Hauptachsen Ellipse

$\frac{E_x^2}{E_{0x}^2} + \frac{E_y^2}{E_{0y}^2} = 1$

$D_i = \epsilon_0 \epsilon_i E_i$   $E_i = \frac{1}{\epsilon_0 \epsilon_i} D_i$

$\beta = \frac{\pi d}{\lambda} (n_L - n_R)$  Polarisationsdrehung bei optischer Aktivität

$\frac{\partial^2 \vec{E}}{\partial z^2} - (\chi_1 + 1) \epsilon_0 \mu_0 \frac{\partial^2 \vec{E}}{\partial t^2} = \mu_0 \frac{\partial^2 \vec{P}_{NL}}{\partial t^2}$

Nicht lineare Gleichung

Quantenphänomene

Photoeffekt:  $E_{\text{kin}}(\nu) = h\nu - A$  Einsteingleichung  
 $E_{\text{kin}}(\nu) = -eU_0(\nu)$

Plancksches Wirkungsquantum  $h = 4,136 \cdot 10^{-15} \text{ eVs} = 6,63 \cdot 10^{-34} \text{ Js}$

$1 \text{ eV} = 1,6 \cdot 10^{-19} \text{ J}$

Energie eines Photons  $W_{\text{ph}} = h \cdot \nu = \frac{hc}{\lambda}$

$I = N \cdot h\nu$  mit  $N = \frac{\text{Zahl Photon}}{\text{Fläche} \cdot \text{Zeit}}$

Impuls eines Photon  $P_{\text{ph}} = \frac{h\nu}{c} = \frac{h}{\lambda}$

Drehimpuls eines Ph.  $|\vec{S}_{\text{ph}}| = \hbar = \frac{h}{2\pi}$

$m_{\text{ph}} = W_{\text{ph}}/c^2 = h\nu/c^2$

$v = c$  bzw.  $v = c/n$

$E[\text{eV}] = \frac{1240}{\lambda[\text{nm}]}$   $\lambda_{\text{dB}} = \frac{c}{\nu}$  de Broglie-Wellenlänge

$I_{\text{photo}} = e \cdot \frac{dn_{\text{ph}}}{dt} = e \cdot \eta \cdot \frac{P}{h\nu}$

Stem-Boltzmann-Gesetz  $L = \int_0^\infty j_{\text{ges}}(\nu, T) d\nu = \sigma \cdot T^4$

$\sigma = 5,67 \cdot 10^{-8} \frac{\text{W}}{\text{m}^2 \text{K}^4}$   $T$  - Temperatur

Verschiebungsgesetz  $\lambda_{\text{max}} \cdot T = 0,29 \text{ cmK}$

$\frac{N_2}{N_1} = \exp(-\frac{h\nu}{kT})$   
 $a(\nu, T) d\nu = \frac{8\pi h}{c^3} \frac{\nu^3}{\exp(\frac{h\nu}{kT}) - 1} d\nu$   
 $\lambda^2$ -Gesetz  $U_\lambda(\lambda) = \frac{2}{c} U_\nu(\nu)$   
 $E_0 = 8,854 \cdot 10^{-12} \text{ As}$   $m_e = 9,1 \cdot 10^{-31} \text{ kg}$   
 $M_0 = 4\pi \cdot 10^{-7} \frac{\text{Vs}}{\text{A}}$   $v_{\text{mp}} = 1,672 \cdot 10^{-27} \text{ kg}$

Maxwell Gleichungen

in Optik: nichtmagnetische, nichtleiter  
 $\Rightarrow \mu = 1 \quad \sigma = 0 \quad \vec{j} = 0$

$$\begin{aligned} \nabla \cdot \vec{D} &= \rho \quad [\nabla \cdot \vec{E} = \frac{\rho}{\epsilon_0}] \\ \nabla \cdot \vec{B} &= 0 \\ \nabla \times \vec{E} &= -\frac{\partial \vec{B}}{\partial t} \quad \left[ \nabla \times \vec{B} = \mu_0 \epsilon_0 \frac{\partial \vec{E}}{\partial t} \right] \quad \left[ \vec{D} = \epsilon \epsilon_0 \vec{E} \right] \\ \Rightarrow \nabla \cdot [\nabla \times \vec{E}] &= \nabla \cdot (\vec{0}) + (\nabla \cdot \vec{0}) \\ \Delta \vec{E} - \epsilon_0 \epsilon_0 \mu_0 \frac{\partial^2 \vec{E}}{\partial t^2} &= 0 \Rightarrow \Delta \vec{E} = \frac{1}{v_{ph}^2} \frac{\partial^2 \vec{E}}{\partial t^2} = 0 \\ \Delta \vec{B} - \epsilon_0 \epsilon_0 \mu_0 \frac{\partial^2 \vec{B}}{\partial t^2} &= 0 \Rightarrow \Delta \vec{B} = \frac{1}{v_{ph}^2} \frac{\partial^2 \vec{B}}{\partial t^2} = 0 \\ \epsilon_0 \epsilon_0 \mu_0 &= \frac{1}{v_{ph}^2} \Rightarrow v_{ph} = \frac{1}{\sqrt{\epsilon_0 \epsilon_0 \mu_0}} = \frac{1}{\epsilon} c = \frac{1}{\epsilon_0 \epsilon_r \mu_0} n \cdot c \end{aligned}$$

Wellenl einfache Lösung: mit  $\vec{E}$  als Wellenfaktor in Ausbreitungsrichtung  
 $\vec{E}(\vec{r}, t) = \vec{E}_0 \cos(\omega t - \vec{k} \cdot \vec{r} + \varphi)$   
 $k = \frac{2\pi n}{\lambda} \quad |\vec{k}| = \frac{2\pi}{\lambda} = \frac{\omega}{v}$   
 $\Delta \vec{E} - \epsilon_0 \epsilon_0 \mu_0 \frac{\partial^2 \vec{E}}{\partial t^2} = 0 \Rightarrow \vec{k}^2 = k_x^2 + k_y^2 + k_z^2 = \frac{\omega^2}{v^2}$   
 $\omega = 2\pi \nu = \frac{2\pi}{T} \quad c = \lambda \nu = \frac{\omega}{k}$

Komplexe Darstellung:  $\vec{E}_c(\vec{r}, t) = \vec{E}_0 e^{i(\omega t - \vec{k} \cdot \vec{r} + \varphi)}$   
 nur Relativ  $\vec{E}(\vec{r}, t) = \text{Re}[\vec{E}_c(\vec{r}, t)] = \frac{1}{2} [\vec{E}_c + \vec{E}_c^*]$   
 $\nabla \cdot \vec{D} \propto \vec{k} \cdot \vec{D} = 0 \Rightarrow \vec{k} \perp \vec{D} \quad \vec{E} \perp \vec{B}$   
 $\nabla \cdot \vec{B} \propto \vec{k} \cdot \vec{B} = 0 \Rightarrow \vec{k} \perp \vec{B} \quad \vec{D} \perp \vec{B}$   
 $|\vec{E}| = \frac{c}{n} |\vec{B}| = \frac{1}{\sqrt{\epsilon_0 \epsilon_0 \mu_0}} |\vec{B}|$   
 $\vec{S}(\vec{r}, t) = \frac{1}{\mu_0} (\vec{E} \times \vec{B}) = \epsilon_0 c^2 (\vec{E} \times \vec{B})$  Poynting Vektor (Maß von Richtung von Energie)  
 $I = \langle |\vec{E}| \rangle = \epsilon_0 n c \langle |\vec{E}|^2 \rangle$  Lichtintensität  
 Intensität: mittlere Lichtenergie pro Zeit pro Fläche  
 $\langle |\vec{E}|^2 \rangle = \frac{1}{T} \int |\vec{E}|^2 \cos^2(\omega t - \vec{k} \cdot \vec{r} + \varphi) dt = \frac{1}{2} |\vec{E}_0|^2$   
 $I = \frac{1}{2} \epsilon_0 n c |\vec{E}_0|^2$  Strahlendruck  
 $\vec{p} = \frac{I}{c} \vec{s}$  Strahlendruck

Phasengeschwindigkeit  $v$  eines Pulses mit  $\Phi_0$   
 $\Phi(z, t) = \omega_0 t - k_0 z(t) = \Phi_0$   $\epsilon_0 c = \frac{c}{n_0}$  zu Vakuumwellenlänge  
 $\nu_{ph} = \frac{d\omega}{dk} = \frac{c}{n_0} = \frac{c}{n}$  Dipolmoment  
 $\nu_g = \left( \frac{d\omega}{dk} \right) = \frac{c}{n} - \frac{k \cdot c}{n^2} \frac{dn}{dk}$   
 $\frac{1}{\nu_g} = \frac{1}{\nu_{ph}} \left( 1 - \frac{\nu}{c} \frac{dn}{dn} \right)$   
 $\vec{D} = (\epsilon - 1) \epsilon_0 \vec{E}$

Realer Brechungsindex bewirkt Brechung  
 Imaginärer Brechungsindex bewirkt Absorption  
 $z$  = Schichttiefe des Mediums  
 $I(z) = I(0) \cdot \exp(-az)$   $\gamma$ -Dämpfung  
 $a = \frac{e^2 N}{\epsilon_0 m c (\omega_0^2 - \omega)^2 + \gamma^2 \omega^2}$  N-Teilchenfläche

Stetigkeit Komponenten der  $\vec{E}$ - und  $\vec{B}$ -Felder stetig an Grenzfläche  
 für alle Zeitpunkte an Grenzfläche:  
 $\omega e^{-i\vec{k} \cdot \vec{r}} = \omega' e^{-i\vec{k}' \cdot \vec{r}} = \omega e^{-i\vec{k} \cdot \vec{r}}$

Der Wellenvektor des reflektierten Lichtes liegt in der Einfallsebene.  
 Winkel: Einfallswinkel  $\theta_e$  = Ausfallswinkel  $\theta_r$

$$n_1 \sin(\theta_e) = n_2 \sin(\theta_t) \quad \text{Snelliessches Brechungsgesetz}$$

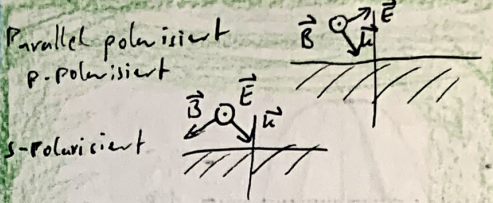
$$R = \frac{I_r}{I_e} = \left( \frac{n_2 \cos \theta_e - n_1 \cos \theta_t}{n_1 \cos \theta_e + n_2 \cos \theta_t} \right)^2$$

Reflexionsgrad für senkrechten Lichteinfall

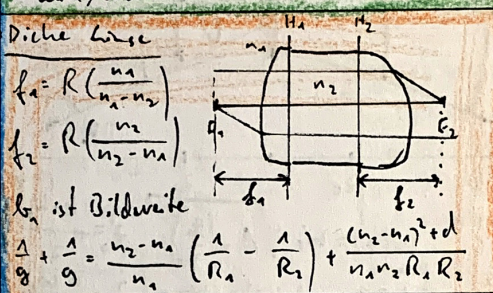
Fresnel'sche Formeln

$$r_{\perp} = \frac{E_{r\perp}}{E_{e\perp}} = \frac{n_2 \cos \theta_e - n_1 \cos \theta_t}{n_1 \cos \theta_e + n_2 \cos \theta_t} = \frac{\sin(\theta_e - \theta_t)}{\sin(\theta_e + \theta_t)}$$

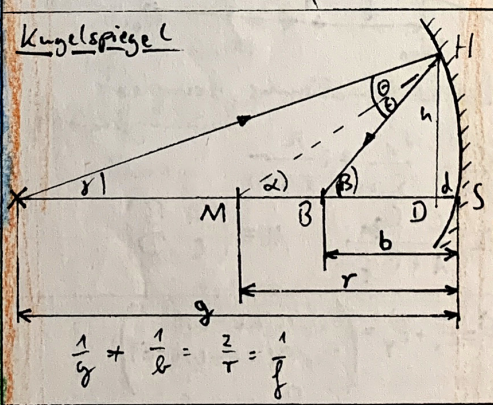
$$r_{\parallel} = \frac{E_{r\parallel}}{E_{e\parallel}} = \frac{n_2 \cos \theta_e - n_1 \cos \theta_t}{n_1 \cos \theta_e + n_2 \cos \theta_t} = \frac{\tan(\theta_e - \theta_t)}{\tan(\theta_e + \theta_t)}$$



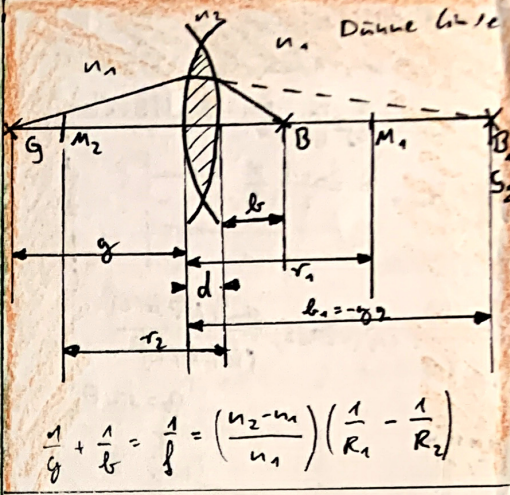
Parallel polarisiert  
 p-polarisiert  
 s-polarisiert  
 $T = 1 - |r|^2$  Transmissionsgrad  
 $R = |r|^2$  Reflexionsgrad  
 $\theta_B = \arctan\left(\frac{n_2}{n_1}\right)$  Brewsterwinkel  $\rightarrow$  totale Transmission  
 $\theta > \theta_T = \arcsin\left(\frac{n_2}{n_1}\right)$  Winkel Totalreflexion  
 Streuung an sehr kleinen Teilchen  
 $\sigma = \frac{8\pi}{3} \left( \frac{e^2}{4\pi \epsilon_0 m c^2} \right)^2 \omega^4$   
 $\vec{S}_r = \vec{S}_e + 2 \vec{u}_n \cos \theta_e = \vec{S}_e - 2 (\vec{S}_e \cdot \vec{u}_n) \vec{u}_n$   
 Vektorielle Reflexionsgesetz  
 Fermatsches Prinzip  
 Licht nimmt Weg der aller Platte ein Extremum ist min/max



Dicke Linse  
 $f_1 = R \left( \frac{n_2}{n_1 - n_2} \right)$   
 $f_2 = R \left( \frac{n_2}{n_2 - n_1} \right)$   
 $b_n$  ist Bildweite  
 $\frac{1}{g} + \frac{1}{b} = \frac{n_2 - n_1}{n_1} \left( \frac{1}{R_1} - \frac{1}{R_2} \right) + \frac{(n_2 - n_1)^2 d}{n_1 n_2 R_1 R_2}$   
Prisma  
  
 $\delta = \theta_{e1} - \alpha + \arcsin(\sin \alpha \sqrt{n^2 - \sin^2 \theta_{e1}}) - \sin \theta_{e1} \cos \alpha$   
 $\sin\left(\frac{\delta + \alpha}{2}\right) = n \sin\left(\frac{\alpha}{2}\right)$  Symmetrische Durchstrahlung für  $\alpha \cdot n \ll 1$   
 $\delta = (n-1) \alpha$  Scheitelle eines Prismas



Kugelspiegel  
 $\frac{1}{g} + \frac{1}{b} = \frac{2}{r} = \frac{1}{f}$   
  
 $\frac{n_1}{g} + \frac{n_2}{b} = \frac{n_2 - n_1}{r}$   
Kugeloberfläche



Strahlmatrix  
 Strahlvektor  $\vec{s} = \begin{pmatrix} x \\ x' \end{pmatrix}$  optische Achse z  
 Dicke Linse:  $\vec{L} = \begin{pmatrix} 1 & -d \\ 0 & 1 \end{pmatrix}$   
 Transmission  $\vec{T} = \begin{pmatrix} 1 & 0 \\ d/n & 1 \end{pmatrix}$   
 allg. Linse  $\begin{pmatrix} 1 - P_{bc} & 1 \\ 0 & 1 \end{pmatrix} \begin{pmatrix} 1 & 0 \\ d/n & 1 \end{pmatrix} \begin{pmatrix} 1 - P_{cb} & 1 \\ 0 & 1 \end{pmatrix} \vec{s}_a$   
 $P_{bc} = (n_2 - n_1) / R_1$   
 Dicke Linse mit  $n_2$  außen  $n_1 = 1$   
 $f_1$  linksseitig  $\begin{pmatrix} 1 & -1/f_1 \\ 0 & 1 \end{pmatrix} \begin{pmatrix} 1 & 0 \\ d/n & 1 \end{pmatrix} \begin{pmatrix} 1 & -1/f_2 \\ 0 & 1 \end{pmatrix}$   
 $f_2$  rechtsseitig  $\begin{pmatrix} 1 & -1/f_2 \\ 0 & 1 \end{pmatrix} \begin{pmatrix} 1 & 0 \\ d/n & 1 \end{pmatrix} \begin{pmatrix} 1 & -1/f_1 \\ 0 & 1 \end{pmatrix}$

